

## بهینه سازی تولید اگزوپلی ساکارید توسط باکتری *Rhizobium radiobacter* PTCC 1654 در لجن لبني با استفاده از روش آماری سطح پاسخ

الهام اسکندری<sup>۱</sup>، فریده طباطبایی یزدی<sup>۲\*</sup>، سید علی مرتضوی<sup>۲</sup>، آرش کوچکی<sup>۱</sup>

۱- دانشجوی کارشناسی ارشد، گروه علوم و صنایع غذایی، دانشکده کشاورزی، دانشگاه فردوسی مشهد

۲- استاد گروه علوم و صنایع غذایی، دانشکده کشاورزی، دانشگاه فردوسی مشهد

(تاریخ دریافت: ۰۸/۱۰/۹۵ تاریخ پذیرش: ۱۱/۲۷/۹۵)

### چکیده

در این پژوهش تولید اگزوپلی ساکارید توسط باکتری *Rhizobium radiobacter* PTCC 1654 از لجن لبني در کشت غوطهوری به منظور کاهش ضایعات صنایع لبني و استفاده به عنوان محیط سودمند برای رشد میکروب ارگانیسم ها مورد بررسی قرار گرفت. غربالگری اوپریها استفاده از طرح فاکتوریل جزئی از میان ۷ متغیره، زمان، دما، غلظت کربنات کلسیم، غلظت سولفات آمونیوم سرعت همزدن، درصد لجن لبني و pH محیط کشت شناسایی متغیرهای مؤثر بر رشد باکتری *R. radiobacter* انجام گرفت. نتایج نشان داد که سه متغیر درصد لجن لبني، غلظت کربنات کلسیم و زمان گرمخانه گذاری اثر مثبت بر رشد *R. radiobacter* داشت ( $p < 0.05$ ). این سه متغیر همچنین اثر معنی داری ( $p < 0.05$ ) بر تولید اگزوپلی ساکارید توسط *R. radiobacter* با استفاده از روش آماری سطح پاسخ دارند. حداقل تولید اگزوپلی ساکارید در غلظت ۱/۰۰۰ g کربنات کلسیم، ۵۰ درصد لجن لبني و زمان گرمخانه گذاری ۱۰۱/۶۹ ساعت حاصل شد که در این صورت تولید اگزوپلی ساکارید  $686\text{g}/100\text{ml}$  و تولید بیومس  $288\text{g}/100\text{ml}$  باشد. نتایج FTIR نشان داد که اگزوپلی ساکارید تولید شده در محیط لجن لبني باقی مانده کربوهیدراتی و گروههای کربوکسیل روی زنجیره خود می باشد.

کلید واژگان: اگزوپلی ساکارید، *Rhizobium radiobacter* PTCC 1654، لجن لبني، روش سطح پاسخ

محصولات جانی کشاورزی و صنعت برای تولید اگزوپلی ساکارید توسط پژوهشگران متعددی مورد مطالعه قرار گرفته است [۱۲، ۱۳ و ۱۴]. صنایع لبنی به عنوان یکی از بزرگترین تولیدکننده پساب می‌باشد که حاوی مقادیر بالایی ترکیبات آلی مانند کربوهیدرات، پروتئین و غیره هستند پساب صنایع لبنی توسط ریزاسازواره‌های مختلف می‌تواند به عنوان منبع کربن و نیتروژن مورد استفاده قرار بگیرد؛ بنابراین از این مواد به عنوان محیط کشت ارزان برای رشد ریزاسازواره‌ها و تولید انواع فرآورده‌ها از قبیل اگزوپلی ساکارید، آنزیم‌ها، اسیدهای آلی و غیره می‌توان بهره برداری نمود. لجن لبنی حجمی بین ۱-۰۰۵٪ حجم شیر را دارد که ۱۶-۱۴٪ آن ماده‌ی خشک است. لجن لبنی شامل ۸-۶٪ نیتروژن، ۰-۳۵٪-۰-۲۵٪ چربی، ۷٪ لاكتوز و ۳-۱۵٪ مواد غیر شیری می‌باشد [۱۵]. در یک کارخانه‌ی صنایع لبنی روزانه حجم بالایی لجن از باکتوفیوژ و سپراتور تولید می‌شود که حاوی ترکیبات مفید مثل فاکتورهای رشد، کربن، نیتروژن مواد آلی برای رشد باکتری‌ها است، بنابراین می‌توان از آن به عنوان یک منبع ارزان و قابل دسترس جهت تولید میکروبی اگزوپلی ساکاریدها استفاده کرد که سبب کاهش هزینه تولید اگزوپلی ساکارید می‌شود.

فرآیند تولید اگزوپلی ساکاریدها به شدت تحت تأثیر فاکتورهای متعددی مانند ترکیبات محیط کشتاز جمله منبع کربن و نیتروژن، فاکتورهای رشد، نمک‌های معدنی، نوع سویه و شرایط تخمیر (pH، زمان، دما و هواده) می‌باشد [۱۶-۱۹]. به احتمال زیاد با استفاده از یک روش بهینه‌سازی مناسب می‌توان فاکتورهای مؤثر را تشخیص داد؛ علاوه بر این امکان اثر متقابل بین فاکتورها باید به منظور تعیین شرایط بهینه در نظر گرفت. روش سطح پاسخ مجموعه‌ای از تکنیک‌های آماری برای طراحی آزمایش‌ها، مدل‌های ساخته شده، ارزیابی اثرات فاکتورها و جستجو شرایط بهینه، برای پاسخ مطلوب است. هدف از این پژوهش استفاده از درصدهای مختلف لجن لبنی جهت رشد و تولید اگزوپلی ساکارید توسط سویه *R. radiobacter* و همچنین بهینه سازی شرایط تولید اگزوپلی ساکارید بود.

## ۱- مقدمه

اگزوپلی ساکاریدها (EPS)<sup>۱</sup> پلیمرهایی با وزن مولکولی بالا هستند که از واحدهای قندی تشکیل شده‌اند و توسط انواع ریزاسازواره‌ها به محیط اطراف ترشح می‌شوند. اگزوپلی ساکاریدها کاربردهای فراوانی در پزشکی، کشاورزی و صنایع غذایی به عنوان امولسیفایر، تثبیت‌کننده، پیونددهنده، عامل تشکیل ژل، عامل انعقاد، مواد تشکیل‌دهنده فیلم، روان‌کننده و غلیظ کننده را دارند [۱-۳]. علاوه بر این اگزوپلی ساکاریدها مزایای بسیاری از جمله غیر سمی و ایمن بودن، داشتن خواص فیزیکی و شیمیایی منحصر به فرد، جداسازی آسان از باکتری‌ها و توانایی تولید از طریق تخمیر غوطه‌وری در محیط‌های صنعتی را دارا می‌باشد [۴]. در تولید پلی ساکاریدهای فعال زیستی در مقیاس صنعتی، منابع میکروبی به دلیل پایداری و مقرون به صرفه بودن، نسبت به گیاهان و جلبک‌ها ترجیح داده می‌شود [۵ و ۶]. *Rhizobium. radiobacter* باکتری گرم منفی، میله‌ای شکل و هوازی است که قبلاً جزء *Agrobacterium radiobacter* و *tumefaciens* طبقه بندی *Agrobacterium radiobacter tumefaciens* می‌شد و در بیوستتر طیف وسیعی از اگزوپلی ساکاریدهای میکروبی نقش دارد. بسیاری از اعضای این گونه تولیدکننده اگزوپلی ساکاریدهای مهم مانند سوکسینو گلوکان و کوردلان می‌باشند [۷]. اگزوپلی ساکاریدهای *R. radiobacter* به دلیل قابلیت افزایش ویسکوزیته مناسب، مورد توجه زیادی می‌باشند [۸]. همچنین این باکتری توانایی تجزیه لاكتوز و استفاده از آن به عنوان منبع کربن جهت رشد و تولید اگزوپلی ساکارید را دارد [۷ و ۹]. استفاده از پلیمرهای زیستیه هزینه تولید آن‌ها بستگی دارد که با ماده خام استفاده شده به عنوان محیط رشد در ارتباط می‌باشد [۱۰]. در حال حاضر هزینه تولید اگزوپلی ساکارید یکی از علل عدمهای است که استفاده از آن‌ها رادر مقیاس‌های بزرگ با مشکل مواجه می‌نماید. از آنجایی که هزینه منبع کربن بیش از ۵۰٪ از هزینه تولید پلیمرهای زیستی را شامل می‌شود بنابراین به منظور کاهش هزینه تولید استفاده از منبع کربن ارزان‌تر و بهبود بازده محصول با استفاده از بهینه سازی شرایط تخمیر موردنیاز می‌باشد [۱۱]. استفاده از ملاس نیشکر، آب پنیر و دیگر

1. Extracellular polysaccharides

## ۲- مواد و روش‌ها

### ۱-۲ میکرووارگانیسم

سویه *R.radiobacter PTCC 1654* به صورت لیوفلیزه از مرکز کلکسیون کشت باکتری‌ها و فارچه‌های سازمان پژوهش‌های علمی و صنعتی ایران خریداری شد. به منظور آماده‌سازی میکرووارگانیسم برای انجام عمل تخمیر ابتدا می‌باشد باکتری از حالت لیوفلیزه خارج کرده و فعال نمود، برای این کار از محیط نوترینت براث (شرکت مرک آلمان) استفاده گردید. باکتری لیوفلیزه به میزان لازم تحت شرایط استریل زیر هود به داخل محیط مغذی انتقال داده شد و در دمای  $28^{\circ}\text{C}$  به مدت ۲۴ ساعت گرمخانه گذاری گردید. میکرووارگانیسم فعال شده به سطح محیط کشت جامد تریپتیکاز سوی آگار (شرکت مرک آلمان) منتقل داده شد و در همان شرایط قبل گرمخانه گذاری شد. از این محیط کشت به عنوان محیط ذخیره برای تولید ماده مورد نظر استفاده گردید [۱۲].

### ۲-۲ آماده‌سازی محیط عصاره لبندی به عنوان

#### منبع کربن محیط تخمیر

لجن لبندی مورد استفاده در این پژوهش، از کارخانه پگاه خراسان رضوی تهیه گردید. pH اولیه نمونه‌های لجن لبندی با استفاده در حدود ۵ تنظیم شده ۵ دقیقه در دمای  $90^{\circ}\text{C}$  به منظور HCl رسوب پروتئین‌های غیر محلول حرارت داده شد. بعد از سرد شدن تا  $25^{\circ}\text{C}$  به منظور حذف رسوبات از کاغذ صافی ۸ میکرومتر (واتمن شماره ۴۰) استفاده شد و سپس مایع زیر صافیدر دمای  $121^{\circ}\text{C}$  به مدت ۱۰ دقیقه استریل شد. عصاره جهت انجام آزمایش‌ها در مراحل بعدی، در دمای  $4^{\circ}\text{C}$  در یخچال نگهداری شد [۲۰].

### ۲-۳ اندازه گیری ترکیبات لجن لبندی

میزان پروتئین با استفاده از روش میکروکلدلاب در نظر گرفتن  $6/25$  به عنوان ضریب تبدیل نیتروژن به پروتئین خام، قند کلو AOAC (۱۹۸۴) در سه تکرار تعیین شد [۲۱].

2. Nutrient broth

3.Tryptic soy agar

4.Tryptic soy broth

استفاده از آلبومین سرم گاوی به عنوان استاندارد به روش برادفورد اندازه‌گیری شد [۲۶].

### ۹-۲- طرح های آزمایشی

#### ۱-۹-۲- طرح فاکتوریل جزئی (FFD<sup>®</sup>)

هدف از اولین گام بهینه سازی، شناسایی فاکتورهایی از محیط بود که اثر قابل توجهی بر رشد *PTCC1654R.radiobacter* سویه در محیط لجن لبنی داشت. طرح فاکتوریل یک نوع از طرح‌های تجربی است که در شناسایی فاکتورهای مهم و ارتباط بین فاکتورها، با تعداد آزمایش کمتری نسبت به تکنیک یک فاکتور در یک زمان مفید می‌باشد. در برخی آزمایش‌ها، تعداد فاکتورهای موردنظر بسیار زیاد می‌باشد. با وجود اینکه ممکن است مطالعه تعداد زیادی از فاکتورها لازم باشد، ولی این امر واقع بینانه است که انتظار داشته باشیم، تنها تعداد محدودی از فاکتورها (P) دارای تأثیر چشمگیر و عمده‌ای باشد. در این گونه شرایط، روش طراحی فاکتوریل جزئی الگوی بسیار مناسبی می‌باشد [۲۷]. مطابق جدول ۱ با اساس طرح فاکتوریل جزئی، ۷ فاکتور، همزدن، دمای انکوباسیون، غلظت لجن لبنی، کلسیم کربنات، pH،  $\text{NH}_4(\text{SO}_4)_2$  و زمان گرمخانه گذاری و هر کدام در ۲ سطح در نظر گرفته شد. بر این اساس تعداد ۸ آزمایش برای غربالگری شناسایی متغیرهای مستقل مؤثر بر رشد سویه *PTCC 1654R. radiobacter* در محیط لجن لبنی انجام پذیرفت. تمامی آزمایش‌ها در سه تکرار انجام شد.

**Table 1** Variables in real values, for screening by the 2-level fractional factorial design

| Variable                       | Range and levels |     |
|--------------------------------|------------------|-----|
| (h) Time                       | -1               | +1  |
| (g/l) $\text{CaCO}_3$          | 48               | 120 |
| (g/l) $\text{NH}_4\text{SO}_4$ | 0/5              | 1   |
| (%) Dairy sludge               | 0/5              | 3   |
| pH                             | 5                | 9   |
| (rpm) Agitation                | 50               | 150 |
| (°C) Temperature               | 24               | 37  |

از محلول حاوی فلزات کمیاب و عصاره استریل شده لجن لبنی (۳۰،۴۰٪) بود. محلول فلزات کمیاب شامل  $\text{MnSO}_4 \cdot \text{H}_2\text{O}$  ۲gr،  $\text{FeSO}_4 \cdot \text{H}_2\text{O}$  ۵gr،  $\text{ZnCl}_2 \cdot \text{H}_2\text{O}$  ۱gr،  $\text{CoCl}_2 \cdot \text{H}_2\text{O}$  ۱gr که در ۱ لیتر HCl ۰/۱ Molar حل گردیده است. تخمیر در انکوباتور شیکردار با سرعت (۱۵۰rpm) در زمان‌های ۲۴، ۷۲ و ۱۲۰ ساعت و دمای ۲۸°C انجام شد [۲۳ و ۲۴].

### ۶- جداسازی اگزوپلی ساکارید از محیط تخمیر

بعد از کامل شدن زمان تخمیر ابتدا به منظور غیر فعال کردن سلول‌ها و کاهش ویسکوزیته محیط تخمیر از حرارت ۸۵°C به ۱۵ دقیقه استفاده شد بعد از اینکه مایع تا دمای اتاق (۲۵°C) سرد گردید، غلظت ۵٪ (W/V) تری کلرو استیک اسید به مایع اضافه شد و در دمای ۴°C برای ۱۲ ساعت نگهداری شد. سپس با استفاده از سانتریفیوژ ۵۰۰۰g به مدت ۲۰ دقیقه سلول‌ها و رسوب پروتئینی از محیط تخمیر خارج شد و به مقدار ۲/۵g برای حجمی محیط تخمیر، اتانول سرد به مایع فوقانی سانتریفیوژ اضافه شد تا اگزوپلی ساکارید حاصل رسوب نماید. رسوب حاصل با استفاده از سانتریفیوژ ۵۰۰۰g برای ۳۰ دقیقه در ۴°C جمع‌آوری و در آب مقطر حل شد و در دمای ۷۰°C-انجماد و توسط خشک کن انجامداد (مدل CHRIST, BETA 2-8 LD) خشک گردید [۲۴ و ۲۵].

### ۷- اندازه گیری بیومس و تعیین میزان رشد

برای تشخیص محتوای بیومس، محیط تخمیر شده با سرعت ۵۰۰۰g برای ۲۰ دقیقه سانتریفیوژ شد. ته نشست سلولی ۳ بار با آب مقطر شسته و در آون در دمای ۹۰°C تا زمان رسیدن به وزن ثابت خشکشد [۱۱].

### ۸- تعیین میزان کل کربوهیدرات و پروتئین

محتوای کربوهیدرات کل اگزوپلی ساکارید تولید شده با روش فنل- اسید سولفوریک با استفاده از گلوکز به عنوان استاندارد تعیین شد [۲۵]. اندازه گیری پروتئین اگزوپلی ساکارید تولیدی با

**Table 2** Independent variable values of the process and their corresponding levels

| Independent variable    | Symbol         | Range and levels |      |     |
|-------------------------|----------------|------------------|------|-----|
|                         |                | -1               | 0    | +1  |
| Dairy (%) sludge        | X <sub>1</sub> | 30               | 40   | 50  |
| CaCO <sub>3</sub> (g/l) | X <sub>2</sub> | 0/5              | 0/75 | 1   |
| Time(h)                 | X <sub>3</sub> | 24               | 72   | 120 |

## ۱۰-۲ طیف‌سنجی مادون قرمز<sup>۸</sup> اگزوپلی ساکارید

برای مطالعه ساختار اگزوپلی ساکارید تولید شده از آزمون استفاده شد. مقدار ۵ mg از پودر اگزوپلی ساکارید به دست آمده با مقدار مناسبی از پودر برومید پتاسیم (KBr) مخلوط گردید و تحت فشار از آن قرص به ضخامت ۲mm تهیه گردید و با استفاده از دستگاه طیف سنج (spectrometer) Shimadzu Japan 4300 با رزولوشن  $4\text{ cm}^{-1}$  در بازه ۴۰۰-۴۰۰۰ مورد بررسی قرار گرفت [۱۲].

## ۳- نتایج و بحث

### ۱-۱ آنالیز شیمیابی لجن لبنی

میزان پروتئین، خاکستر و قند کل موجود در لجن لبنی به ترتیب شامل  $۰/۳ \pm ۰/۰۲$ ،  $۳/۲ \pm ۰/۰۶$  و  $۰/۲ \pm ۰/۰۶$  درصد بود.

### ۱-۲-۳ نتایج غربال‌گری متغیرهای مؤثر بر رشد

#### در محیط لجن لبنی *R. radiobacter*

طرح FFD به منظور شناسایی متغیرهای مؤثر بر رشد *R. radiobacter* در محیط لجن لبنی از میانهفت متغیر با ۸ آزمایش انجام گرفت. پاسخ‌های بهدست آمده از رشد *R. radiobacter* در محیط لجن لبنی بر اساس طرح FFD در جدول ۳ آورده شده است. تجزیه آماری پاسخ‌های به دست آمده، بر اساس طرح فاکتوریل جزئی (جدول ۴) نشان داد که از بین متغیرهای مورد بررسی چهار متغیر، زمان، غلظت کربنات کلسیم،

### ۲-۹-۲- طرح مرکب مرکزی (CCD)<sup>۹</sup>

در این پژوهش پس از استفاده از طرح فاکتوریل جزئی برای شناسایی متغیرهای مؤثر بر رشد *R. radiobacter* در محیط لجن لبنی، از روش سطح پاسخ با استفاده از طرح مرکب مرکزی به منظور بهینه سازی متغیرهای مؤثر بر متغیر وابسته (راندمان تولید اگزوپلی ساکارید) استفاده شد. روش سطح پاسخ<sup>۷</sup> مجموعه‌ای از تکنیک‌های آماری است و در بهینه سازی فرایندهایی به کار می‌رود که پاسخ مورد نظر توسط تعدادی از متغیرها تحت تأثیر قرار می‌گیرد به دلیل اینکه در این پژوهش بررسی آثار اصلی و مقابله فاکتورها مدنظر بود، از این رو طرح آماری سطح پاسخ انتخاب شد. در این مطالعه اثر متغیرهای مستقل در سه سطح شامل  $X_1$ ،  $X_2$  و  $X_3$  مورد ارزیابی قرار گرفت. جداول ۲ و ۵ متغیرهای مستقل فرآیند و مقادیر آن‌ها، همچنین طرح آزمایشی مورد استفاده را نمایش می‌دهد. شش نقطه مرکزی برای تخمین خطای آزمایش استفاده شد. میانگین وزن خشک اگزوپلی ساکارید تولید شده و بیومس از دو مرتبه تکرار هر آزمایش به عنوان متغیرهای وابسته یا پاسخ (Y) در نظر گرفته شد. مرحله دوم طرح آماری گزینش شده و رابطه مدل مورد استفاده برای پیش‌بینی، برازش شده و مورد ارزیابی قرار گرفت. مدل مورد استفاده در RSM عموماً رابطه‌ی درجه دوم است. در RSM برای هر متغیر وابسته مدلی تعریف می‌شود که آثار اصلی و مقابله فاکتورها را بر روی هر متغیر جداگانه بیان می‌نماید. مدل چند متغیره به صورت زیر می‌باشد:

$$Y = \beta_0 + \beta_1 X_1 + \beta_2 X_2 + \beta_3 X_3 + \beta_{11} X_1^2 + \beta_{22} X_2^2 + \beta_{33} X_3^2 + \beta_{12} X_1 X_2 + \beta_{13} X_1 X_3 + \beta_{23} X_2 X_3$$

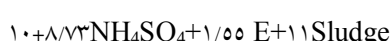
در معادله مذکور Y پاسخ پیش‌بینی شده،  $\beta_0$  ضریب ثابت،  $\beta_1$ ،  $\beta_2$ ،  $\beta_3$  اثرات خطی،  $\beta_{11}$ ،  $\beta_{22}$ ،  $\beta_{33}$  اثرات مربعات و  $\beta_{12}$ ،  $\beta_{13}$ ،  $\beta_{23}$  اثرات مقابله ای است. به منظور آنالیز داده‌ها و رسم نمودارهای مربوط به روش سطح پاسخ و همچنین طرح فاکتوریل جزئی، از نرم‌افزار Design Expert 7.0.3 استفاده گردید [۲۸].

6. Central composite designs

7. Response Surface Methodology

انتخاب گردیدند. مدل پیشنهادی حاصل از آنالیز آزمایش‌های انجام شده از طرح FFD توسط نرم افزار در زیر آورده شده است.

$$\text{Growth(CFU/ml)} = -1E+13 + 5.22E+10 \cdot \text{Time} + 7.77E+12 \cdot \text{Caco}_3 -$$



سولفات آمونیوم و در صد لجن لبنی به صورت معادله درجه اولاًثر معنی داری ( $p < 0.01$ ) بر رشد *R. radiobacter* دارد. با توجه به ضرایب معادله (۱) مشخص گردید سولفات آمونیوم اثر منفی بر رشد *R. radiobacter* دارد در حالی که زمان غلظت کربنات کلسیم کربنات و درصد لجن لبنی اثر مثبتی در رشد *R. radiobacter* دارد. در محیط لجن لبنی داشت؛ و بر این مبنای سه فاکتور فوق جهت بهینه سازی تولید اگزوپلی ساکارید و بیومس

**Table 3** Two-level fractional factorial design of variables (in coded levels) with Growth *R. radiobacter* as the response

| Run | Temperature (°C) | Agitation rate (rpm) | pH | Dairy sludge (%) | NH <sub>4</sub> SO <sub>4</sub> (g/l) | CaCO <sub>3</sub> (g/l) | Time (h) | Cell count (cfu)     |
|-----|------------------|----------------------|----|------------------|---------------------------------------|-------------------------|----------|----------------------|
| 1   | 30               | 50                   | 5  | 30               | 3                                     | 0/5                     | 47       | $2.1 \times 10^9$    |
| 2   | 24               | 50                   | 9  | 5                | 3                                     | 0/5                     | 120      | $9.9 \times 10^9$    |
| 3   | 24               | 150                  | 5  | 5                | 3                                     | 1                       | 48       | $1.1 \times 10^{10}$ |
| 4   | 30               | 150                  | 5  | 5                | 0/5                                   | 0/5                     | 120      | $1.7 \times 10^{11}$ |
| 5   | 30               | 50                   | 9  | 5                | 0/5                                   | 1                       | 48       | $1.2 \times 10^{10}$ |
| 6   | 30               | 150                  | 9  | 30               | 3                                     | 4                       | 120      | $7.5 \times 10^{12}$ |
| 7   | 24               | 50                   | 5  | 30               | 0/5                                   | 1                       | 120      | $7.8 \times 10^{12}$ |
| 8   | 24               | 150                  | 9  | 30               | 0/5                                   | 0/5                     | 48       | $4.1 \times 10^{11}$ |

**Table 4** Analysis of variance for the growth of *R. radiobacter* as the response using coded values

| sourse                          | Sum of squares | Mean square | Df | f value  | p value  |
|---------------------------------|----------------|-------------|----|----------|----------|
| Model                           | 8.56E+25       | 2.14E+25    | 4  | 1376/986 | < 0.0001 |
| Time                            | 2.83E+25       | 2.83E+25    | 1  | 1820/962 | < 0.0001 |
| Caco <sub>3</sub>               | 2.71E+25       | 2.71E+25    | 1  | 1745/792 | < 0.0001 |
| NH <sub>4</sub> SO <sub>4</sub> | 9.44E+22       | 9.44E+22    | 1  | 6.075299 | 0.0905   |
| Dairy sludge                    | 3.01E+25       | 3.01E+25    | 1  | 1935/115 | < 0.0001 |
| Residual                        | 4.66E+22       | 1.55E+22    | 3  |          |          |
| Cor Total                       | 8.56E+25       |             | 7  |          |          |

$R^2_{\text{adjusted}} = 0.99873$

$R^2_{\text{Squared}} = 0.999456$

مقادیر  $R^2$  و  $R^2$  اصلاح شده، مدل چندجمله‌ای درجه دوم برای بررسی روند تغییرات پاسخ هایاندازه‌گیری شده در این پژوهش انتخاب شد. برای تعیین مدل سطح پاسخ از برآیند پاسخ‌های خطی، درجه دوم و اثر مقابل متغیرهای مستقل استفاده شد. معادله های زیر ارتباط تجربی میان راندمان تولید اگزوپلی ساکارید و بیومس و متغیرهای مستقل با اعداد حقیقی را نشان می‌دهد:

$$\text{EPS(g/100ml)} = 0.614511 -$$

$$0.03122X_1 + 0.044227X_2 + 0.03705X_3 - 0.025X_1X_2 - 0.025X_1X_3 -$$

$$0.5X_1X_3 + 0.0002396X_2X_3 + 0.000586X_1^2 - 0.2182X_2^2 -$$

$$0.1E-0.7X_3^2$$

### ۲-۳- نتایج بهینه سازی با استفاده از روش سطح پاسخ

جهت تعیین روند تغییرات تولید اگزوپلی ساکارید و بیومس و بررسی اثر هر یک از متغیرهای مستقل در ابتدا نیاز به تعیین مناسب ترین مدل جهت برآذش داده های آزمون می‌باشد. از نظر آماری مدلی مناسب است که آزمون عدم برآذش<sup>9</sup> آن معنی دار نبوده و  $R^2$  اصلاح شده‌ای بالاترین مقدار باشد. با توجه به غیر معنی دار بودن آزمون عدم برآذش برای تولید اگزوپلی ساکارید و بیومس (۰/۱۰۳۵ و ۰/۲۳۱۰ به ترتیب) و همچنین

9. Lack of fit

اساس روش سطح پاسخ انتخاب شد. همان‌طور که در جدول ۶ و ۷ مشاهده شد، جملات خطی غلظت لجن لبنی، کربنات کلسیم، زمان، جملات اثر متقابل درصد لجن لبنی و زمان، کربنات کربنات و زمان و جمله درجه دوم درصد لجن لبنی، اثر معنی‌داری ( $p < 0.05$ ) بر تولید آگزوپلی ساکارید داشت. همچنین، جملات خطیدرصد لجن لبنی، کربنات کلسیم، جمله اثر متقابل غلظت لجن لبنی و زمان و جمله درجه دوم درصد لجن لبنی، اثر معنی‌داری ( $p < 0.05$ ) بر تولید بیومس نشان داد.

$$\text{Biomass (g/100ml)} = 0.7396681 - 0.7396682 - 0.0255 X_1 + 0.185636 X_2 + 0.004509 X_3 - 0.004 X_1 X_2 - 8.73E-0.5 X_1 X_3 + 0.00417 X_2 X_3 + 0.00482 X_1^2 + 0.00509 X_2^2 - 9.5E-0.6 X_3^2$$

با توجه به نتایج غربالگری عوامل مؤثر بر رشد *R. radiobacter* اساس طرح فاکتوریل جزئی دوستحی، سه فاکتور غلظت لجن لبنی، کلسیم کربنات و زمان گرمانه گذاری برای بهینه‌سازی تولید آگزوپلی ساکارید و بیومس بر

**Table 5** Experimental design (conditions and responses) for EPS production and biomass

| Biomass (g/100ml) | EPS (g /100ml) | Dairy sludge (%) | CaCO <sub>3</sub> (g/l) | Time (h) | Run | Biomass (g/100ml) | EPS (g/100ml) | Dairy sludge (%) | CaCO <sub>3</sub> (g/l) | Time (h) | Run |
|-------------------|----------------|------------------|-------------------------|----------|-----|-------------------|---------------|------------------|-------------------------|----------|-----|
| 0/3               | 0/5            | 50               | 1                       | 24       | 11  | 0/2               | 0/44          | 40               | 0/75                    | 72       | 1   |
| 0/18              | 0/3            | 40               | 0/75                    | 24       | 12  | 0/18              | 0/42          | 40               | 0/75                    | 72       | 2   |
| 0/1               | 0/26           | 30               | 0/5                     | 24       | 13  | 0/2               | 0/44          | 40               | 0/75                    | 72       | 3   |
| 0/28              | 0/52           | 50               | 0/5                     | 24       | 14  | 0/18              | 0/46          | 40               | 1                       | 72       | 4   |
| 0/18              | 0/25           | 30               | 1                       | 24       | 15  | 0/2               | 0/43          | 40               | 0/75                    | 72       | 5   |
| 0/15              | 0/42           | 40               | 0/5                     | 72       | 16  | 0/24              | 0/6           | 50               | 0/5                     | 120      | 6   |
| 0/3               | 0/58           | 50               | 0/75                    | 72       | 17  | 0/2               | 0/55          | 40               | 0/75                    | 120      | 7   |
| 0/18              | 0/42           | 30               | 0/75                    | 72       | 18  | 0/2               | 0/56          | 30               | 1                       | 120      | 8   |
| 0/2               | 0/44           | 40               | 0/75                    | 72       | 19  | 0/16              | 0/68          | 50               | 1                       | 120      | 9   |
| 0/18              | 0/43           | 40               | 0/75                    | 72       | 20  | 0/28              | 0/48          | 30               | 0/5                     | 120      | 10  |

**Table 6** Analysis of variance EPS production using coded values

| P value                                      | F value  | Df | Mean square | Sum of squares | sourse         |
|--|----------|----|-------------|----------------|----------------|
| < 0.0001                                     | 87/98878 | 9  | 0/024515    | 0/220634       | Model          |
| < 0.0001                                     | 323/9253 | 1  | 0/09025     | 0/09025        | A-dairy sludge |
| 0.0026                                       | 15/82837 | 1  | 0/00441     | 0/00441        | B-caco3        |
| < 0.0001                                     | 358/92   | 1  | 0/1         | 0/1            | C-time         |
| 0/3145                                       | 1/121625 | 1  | 0/000312    | 0/000312       | AB             |
| 0/0006                                       | 23/73358 | 1  | 0/006612    | 0/006612       | AC             |
| 0/0006                                       | 23/73358 | 1  | 0/006613    | 0/006613       | BC             |
| 0/0002                                       | 33/93629 | 1  | 0/009455    | 0/009455       | A^2            |
| 0/8949                                       | 0/018354 | 1  | 5/11E-06    | 5/11E-06       | B^2            |
| 0/1351                                       | 2/642956 | 1  | 0/000736    | 0/000736       | C^2            |
|  |          | 10 | 0/000279    | 0/002786       | Residual       |
| 0/1035                                       | 2/358409 | 5  | 0/000691    | 0/000953       | Lack of Fit    |
|  |          | 5  | 6/67E-05    | 0/000333       | Pure Error     |
| R-Squared=0.98753      Adj R-Squared=0.97630 |          |    |             |                |                |

**Table 7** Analysis of variance biomass production using coded values

| P value  | F value  | Df | Mean square | Sum of squares | sourse         |
|----------|----------|----|-------------|----------------|----------------|
| < 0/0001 | 16/0544  | 9  | 0/005476    | 0/049284       | Model          |
| < 0/0001 | 46/90832 | 1  | 0/016       | 0/016          | A-dairy sludge |
| 0/0002   | 31/92697 | 1  | 0/01089     | 0/01089        | B-caco3        |
| 0/3285   | 1/055437 | 1  | 0/00036     | 0/00036        | C-time         |
| 0/1567   | 2/345416 | 1  | 0/0008      | 0/0008         | AB             |
| 0.0001   | 37/5266  | 1  | 0/0128      | 0/0128         | AC             |
| 0/4615   | 0/586354 | 1  | 0/0002      | 0/0002         | BC             |
| 0/0015   | 18/71668 | 1  | 0/006384    | 0/006384       | A^2            |
| 0/7809   | 0/081623 | 1  | 2/78E-05    | 2/78E-05       | B^2            |
| 0/0786   | 3/837953 | 1  | 0/001309    | 0/001309       | C^2            |
|          |          | 10 | 0/003411    | 0/003411       | Residual       |
| 0/2310   | 2/009626 | 5  | 0/000456    | 0/002278       | Lack of Fit    |
|          |          | 5  | 0/000227    | 0/001133       | Pure Error     |

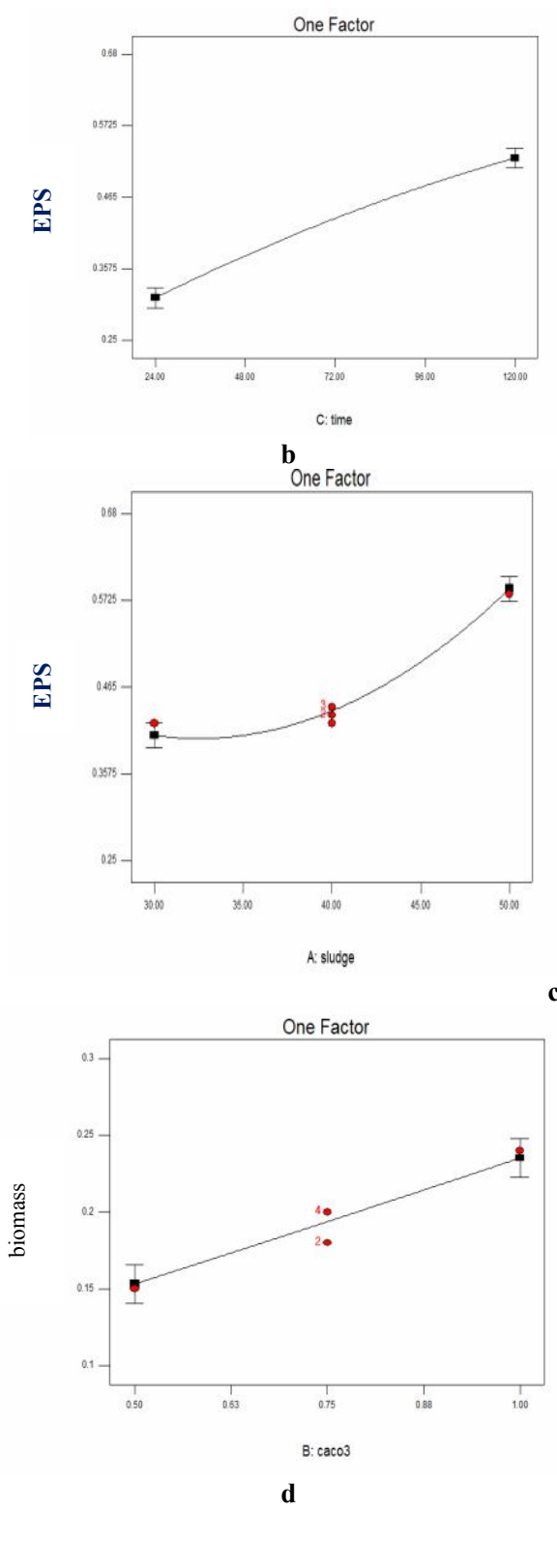
R-Squared=0/935271Adj R-Squared=0/877014

ملاس و لجن فاضلاب که قبلاً برای رشد *Rhizobium* استفاده شده بود، دارای سطح پایین‌تری از فلزات و ترکیبات مضر است [۲۹]. رویز و همکاران (۲۰۱۵)، با رشد *Agrobacterium radiobacter NBRC 12665* غلظت‌های مختلف ملاس، لاكتوز، گلوکز و ساکارز نشان دادند که افزایش در غلظت تمام سوبستراها منجر به افزایش تولید اگزوپلی ساکارید گردید [۹]. موسوی نسب و همکاران (۲۰۱۲) تولید اگزوپلی ساکارید در ۱۰ درصد شیره خرما به عنوان منبع تولید *R. radiobacter* مورد بررسی قرار دادند. نتایج کرین جایگزین با حاصل از این مطالعه نشان داد که تولید اگزوپلی ساکارید با استفاده از شیره خرما پس از ۶ روز سه برابر بیشتر از ساکارز بود [۲۴]. رشد سلول و تولید اگزوپلی ساکارید معمولاً به نوع منبع کرین بستگی دارد که بر کیفیت جزء قندی و وزن مولکولی نیز مؤثر است [۳۰].

همانطور که در شکل (۱a و ۱d) مشاهده می‌شود، با افزایش کلسیم از ۱/۵g/۱ تا ۱ تولید اگزوپلی ساکارید و بیومس افزایش یافت. با این حال نتایج نشان داد که اثر کربنات کلسیم بر تولید بیومس بیشتر از تولید اگزوپلی ساکارید است (شکل ۱a). برای بسیاری از گونه‌های میکروبی کلسیم در مقدار کم جهت حفظ استحکام دیواره سلولی، پایداری پروتئین‌های الیگومری و کمپلکس

### ۳-۳- تأثیر متغیرهای مستقل بر تولید اگزوپلی ساکارید و بیومس

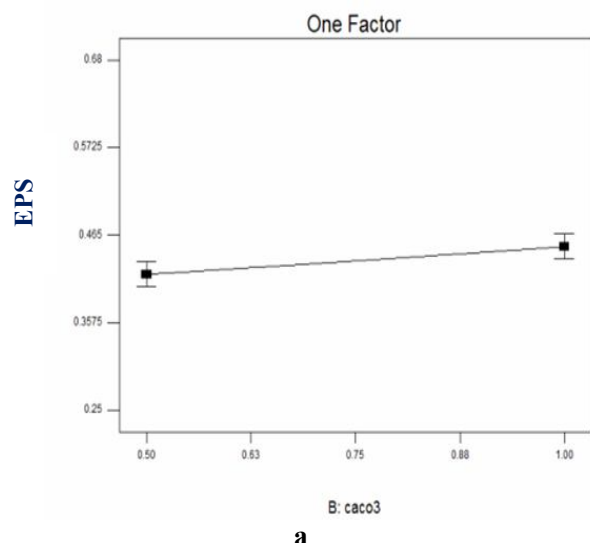
همانطور که در شکل (۱c و ۱f) مشاهده می‌شود با افزایش درصدهای مختلف لجن لبني از ۳۰ تا ۵۰٪ تولید اگزوپلی ساکارید و بیومس افزایش یافت. منبع کرین به دلیل اثر مستقیم آن بر بازده تولید، ترکیبات، ساختار و خصوصیات اگزوپلی ساکاریدهای باکتریابی، مهم‌ترین ترکیب محیط کشت مورد استفاده برای تولید اگزوپلی ساکارید است. لاكتوز کربوهیدرات اصلی موجود در لجن‌لبني است که اصلی‌ترین عامل مغذی برای‌شد و تولید اگزوپلی ساکارید است و به عنوان منبع کرین جایگزین جهت رشد و تولید اگزوپلی ساکارید می‌باشد. به نظر می‌رسد علت اثر منبع کرین بر تولید اگزوپلی ساکارید نیازمندی زیاد سویه *R. radiobacter* به منبع کرین می‌باشد. تاکنون هیچ مطالعه‌ای در مورد استفاده از لجن لبني جهت تولید اگزوپلی ساکارید انجام نشده است. سینگ و همکاران (۲۰۱۳) لجن لبني را به عنوان یک محیط کشت جایگزین برای‌شد *Rhizobium* مورد بررسی قرار دادند. حداقل رشد همه سویه‌ها در غلظت لجن لبني ۶۵٪ مشاهده شد. با توجه به نتایج به دست آمده این پژوهشگران بیان کردند، لجن لبني شامل کازئین، لاكتوز، چربی، فسفر، نیتروژن، پتاسیم و مواد آلی می‌باشد و نسبت به



پیتیدوگلیکان- پروتئین در غشای خارجی مورد نیاز است. استفاده از کلسیم کربنات از اسیدی شدن محیط مایع باکتریایی جلوگیری می‌کند [۳۱].

جوردن (۱۹۸۴)، استفاده از  $1\text{ g/L}$  کربنات کلسیم برای کنترل pH در محیط کشت جهت رشد *Rhizobium* را پیشنهاد داد [۳۲]. استفاده از یون‌های کلسیم‌منتش پایداری پروتئین‌های درگیر در فرآیند سنتز اگزوپلی‌ساقارید را نشان می‌دهد [۳۳]. در این پژوهش حداقل تولید اگزوپلی‌ساقارید در محیط محتوی  $1\text{ g/L}$  بود که این نتایج مطابق با نتایج حاصل از پژوهش پرربیان دوتا و همکاران (۲۰۰۶) بود [۳۴]. در تولید اگزوپلی‌ساقارید با *radiobacter* در اتانول، در محیط کشت بدون کلسیم کربنات، مقدار جزئی از اتانول به اگزوپلی‌ساقارید تبدیل شد در حالی که در محیط دارای کربنات کلسیم تبدیل اتانول به اگزوپلی‌ساقارید ۱۰ برابر بیشتر بود [۳۵].

دلاوچی و همکاران (۲۰۰۳) بیان کردند، سویه *SEMIA 6144 Bradyrhizobium.sp* تغییراتی در محتوی اگزوپلی‌ساقارید در غلظت‌های مختلف کلسیم و pH نشان داد. یک توضیح احتمالی برای نتایج بهدست آمده به این صورت بود که اثر کلسیم می‌توان در رشد باکتری با سنتز یک یا تعداد بیشتری از اجزای سلولی مانند اگزوپلی‌ساقارید اعمال شود که اجازه مقاومت سلول در برابر شرایط اسیدی را می‌دهد [۳۶].



رخ می دهد (به طور مثال در فاز سکون) [۳۸]. رویز و همکاران (۲۰۱۵)، زمان مورد نیاز برای حداکثر اگزوپلی ساکارید تولید شده توسط *Agrobacterium radiobacter NBRC 12665* با استفاده از سلول های آزاد و بی حرکت در ۵ درصد ساکارز به عنوان منبع کربن را ۸ روز گزارش دادند [۹]. حداکثر تولید سوکسینو گلوکان توسط *PTCC 1654A*. با استفاده از شیره خرما به عنوان منبع کربن در ۶ روز گرمخانه گذاری گزارش شد [۲۴]. زمان تولید حداکثر *A. radiobacter* ساکارید محلول در آب تولید شده توسط *A. radiobacter* استفاده از ساکارز به عنوان منبع سوبسترا ۴ روز بود [۲۳]. بنابراین ممکن است بتوان چنین استنباط نمود که زمان ایده آل برای تولید اگزوپلی ساکارید بستگی به عواملی مانند سوبسترا، شرایط رشد و نوع میکرووار گانیسم دارد.

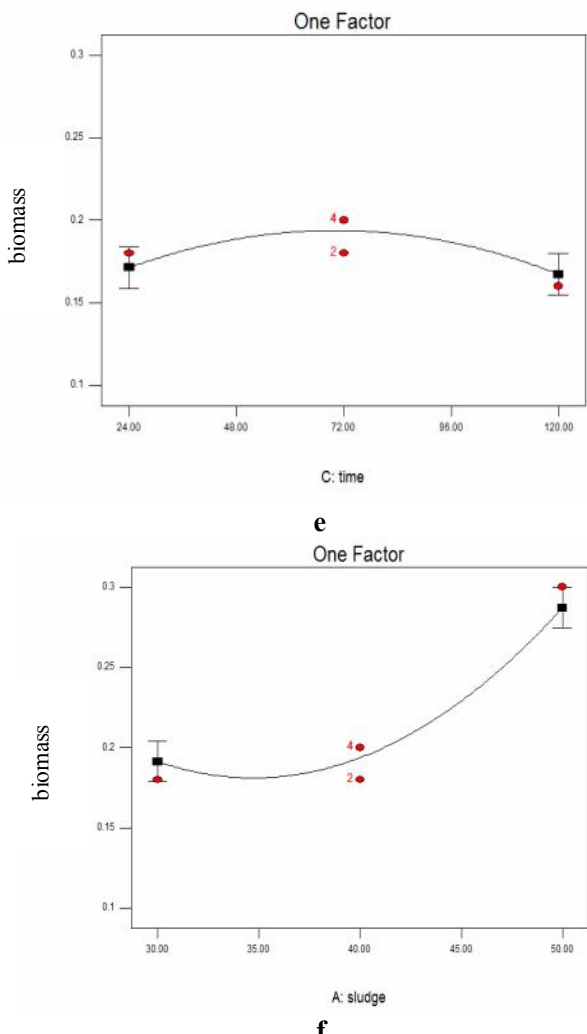
### ۴-اثر متقابل زمان و لجن لبنی بر تولید

#### اگزوپلی ساکارید

شکل ۲a تأییدی بر داده های جدول است که بیان می کند اثر متقابل زمان و غلظت لجن لبنی بر تولید اگزوپلی ساکارید معنی دار ( $P < 0.01$ ) است. همان طور که در شکل (۲a) مشاهده می شود در شرایط زمان و غلظت لجن لبنی پایین، میزان راندمان اگزوپلی ساکارید به طور قابل توجهی پایین می باشد در حالی که افزایش زمان و غلظت لجن لبنی، سبب افزایش تولید اگزوپلی ساکارید شد به گونه ای که حداکثر تولید اگزوپلی ساکارید در این حالت در حداکثر زمان تخمیر (۱۲۰ ساعت) و حداکثر درصد لجن لبنی (۵۰%) درصد مشاهده شد. نتایج نشان داد فاز تولید اگزوپلی ساکارید طولانی گردید و تولید آن با افزایش درصد لجن لبنی بهبود یافت. با توجه به اینکه لجن لبنی انرژی و جزء اصلی برای تولید اگزوپلی ساکارید را فراهم می نماید به نظر می رسد رشد میکروگانیسم های تولید اگزوپلی ساکارید در زمان های بالاتر تخمیر (۱۲۰ ساعت) همچنان افزایش یافت (شکل ۱b و ۱e). در این پژوهش تولید اگزوپلی ساکارید در زمان های بالاتر تخمیر (۱۲۰ ساعت) مورد توجه بود، در نتیجه سبب افزایش ویسکوزیته مایع گردید که ممکن است به دلیل کاهش نیتروژن باشد [۳۷].

### ۵-اثر متقابل زمان و کربنات کلسیم بر تولید

#### اگزوپلی ساکارید



**fig 1** The effect of independent variables on the production of EPS(a:CaCO<sub>3</sub>,b:Time and c:Sludge) and Biomass(d:CaCO<sub>3</sub>,e:Time and f:Sludge).

با افزایش زمان تخمیر از ۲۴ تا ۷۲ ساعت میزان تولید بیومس در محیط تخمیر افزایش یافتو بعد از ۷۲ ساعت به تدریج به علت ورود باکتری به فاز سکون میزان تولید بیومس کاهش یافت؛اما تولید اگزوپلی ساکارید با افزایش زمان تخمیر از ۲۴ تا ۱۲۰ ساعت همچنان افزایش یافت (شکل ۱b و ۱e). در این پژوهش تولید اگزوپلی ساکارید در زمان های بالاتر تخمیر (۱۲۰ ساعت) مورد توجه بود، در نتیجه سبب افزایش ویسکوزیته مایع گردید که ممکن است به دلیل کاهش نیتروژن باشد [۳۷]. میکرووار گانیسم های تولیدکننده اگزوپلی ساکارید معمولاً در ۲۴ ساعت اولیه از گرمخانه گذاری به رشد بهینه خود می رستند در حالیکه حداکثر تولید اگزوپلی ساکارید در مراحل بعدی از رشد

بیان شد به نظر می رسد بعد از زمان ۷۲ ساعت به دلیل اینکه باکتری وارد فاز سکون شده است حتی با افزایش غلظت لجن لبنی میزان بیومس افزایش نیافت.

### ۷-۳- بهینه سازی

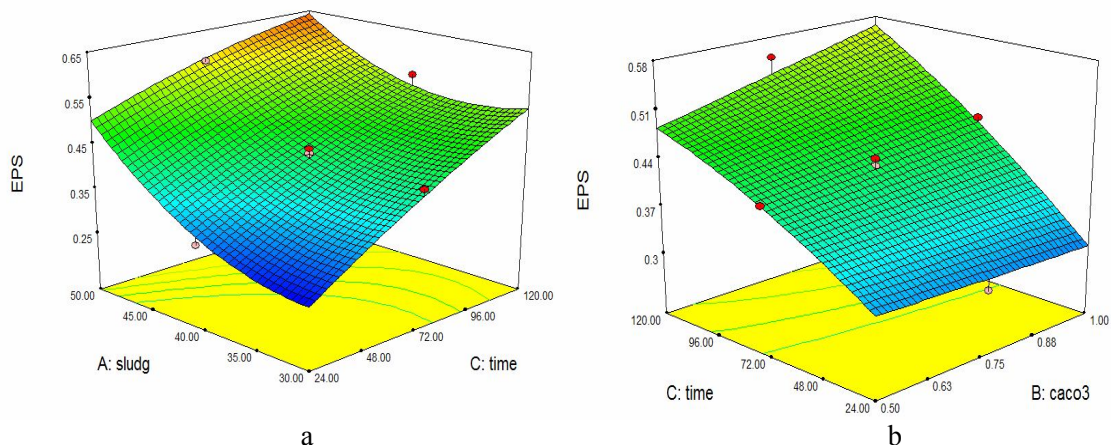
نتایج فرآیند بهینه سازی نشان داد حداکثر تولید اگزوپلی ساکارید  $g/100ml = 0.656$  و بیومس  $g/100ml = 0.288$  بود که از شرایط لجن لبنی  $50\%$  غلظت کربنات کلسیم  $1g/l$  و زمان  $10/69$  ساعت به دست آمد. شو و همکاران (۲۰۱۵)، از آب پنیر *Rhizobium* ۱۰ درصد برای تولید اگزوپلی ساکارید توسط *Radiobacter S10* استفاده کردند بیشینه تولید اگزوپلی ساکارید این سویه به  $0.28g/100ml$  رسید [۷]. حداکثر تولید اگزوپلی ساکارید از سویه *R. radiobacter PTCC 1654* در ملاس و ساکارز به عنوان منع کردن به ترتیب  $2/27g/100ml$  و  $1/03$  بود [۱۲]. حداکثر تولید اگزو پلی ساکارید به وسیله سویه *Rhizobium leguminosarum* رشد داده شده در فاضلاب تولید شده صنعت فرآیند ماهی بعد از ۷۲ ساعت به  $11/1 g/l$  رسید [۱۰].

در شکل ۲C، اثر متقابل زمان و کربنات کلسیم اورده شده است. به کار گیری این دو متغیر، اثر مثبتی بر تولید اگزوپلی ساکارید دارد، به طوری که در زمان‌های پایین (۷۲-۲۴) ساعتو غلظت‌های بالای کربنات کلسیم راندمان تولید اگزوپلی ساکارید پایین می‌باشد. افزایش زمان و کربنات کلسیم سبب افزایش معنی دار در تولید اگزوپلی ساکارید شد. بیشترین میزان تولید اگزوپلی ساکارید در زمان‌های انتهایی تخمیر (حدود ۱۲۰ ساعت) و غلظت کربنات کلسیم  $1g/l$  مشاهده گردید. از آنجایی که تاثیر زمان بسیار بیشتر از غلظت کربنات کلسیم بود، بنابراین برای افزایش بازدهی تولید، کنترل زمان و درصد لجن لبنی باید صورت بگیرد.

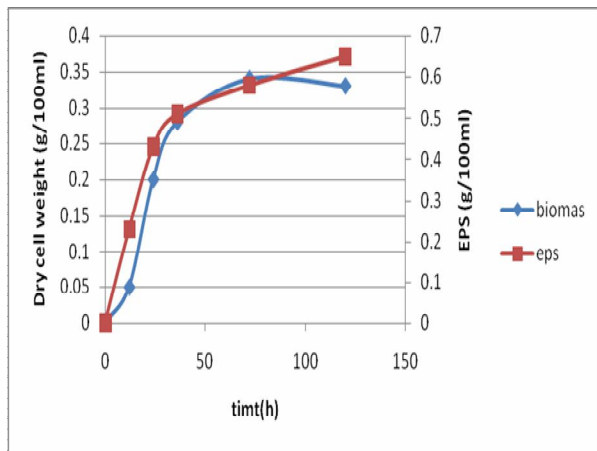
### ۶- اثر متقابل زمان و لجن لبنی بر تولید

#### بیومس

براساس نتایج بدست آمده بر هم کنش زمان و غلظت لجن لبنی تاثیر معنی داری ( $P < 0.01$ ) در تولید بیومس داشت. مطابق شکل ۳، با افزایش غلظت لجن لبنی در محدوده  $30-50$  درصد و افزایش زمان در محدوده  $24-72$  ساعت میزان تولید بیومس افزایش می‌یابد. به طوری که حداکثر تولید بیومس در درصدهای بالای لجن لبنی و زمان  $72-24$  ساعت حاصل شد. همان‌طور که



**Fig 2** Response surface for the effect of (a) time- dairy sludge and (b)  $caco_3$ - time on EPS production



**Fig 4** Curve kinetics of microbial growth and exopolysaccharide production by *R. radiobacter* in optimum conditions.

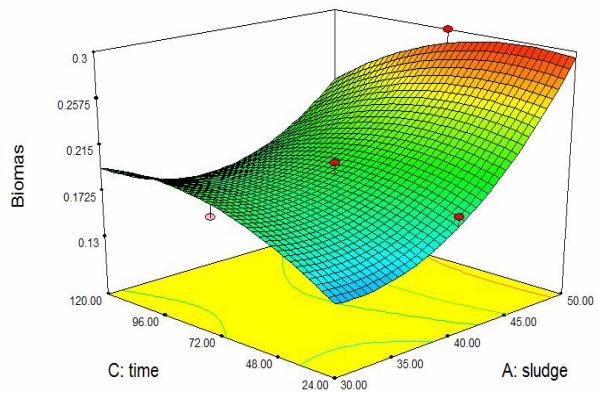
### ۹-۳ مشخصات ترکیبات اگزوپلی ساکارید در

#### شرایط بهینه

اگزوپلی ساکارید به دست آمد هنگام شرایط بهینه مشکل از کربوهیدرات ( $78\pm21$ ) درصد، خاکستر ( $41\pm0.4$ ) درصد و پروتئین ( $16\pm0.32$ ) درصد بود؛ که ممکن است به دلیل رسوب پروتئین محیط کشت در طی بازیافت اگزوپلی ساکارید باشد و اتصال محکمی با اگزوپلی ساکارید ندارد.

### ۱۰-۳ آنالیز طیف‌سنجدی مادون قرمز<sup>۱۰</sup>

شکل ۵، اسپکتروم طیف مادون قرمز اگزوپلی ساکارید تولید شده در سویسترا لجن لبی را نشان می‌دهد. اسپکتروم حاوی باندهای متعددی در عدد طول موج  $4000-400\text{cm}^{-1}$  می‌باشد. اگزوپلی ساکارید به دست آمده یک باند پهنی در فرکانس  $3383\text{cm}^{-1}$  نشان داد که مربوط به ارتعاش کششی اتصال O-H است.



**Fig 3** Response surface for the effect of (a) time-dairy sludge on biomass production.

### ۸-۳ آنالیز کنیتیک رشد میکروبی در فرایند

#### تولید اگزوپلی ساکارید

مطابق شکل ۴، تولید اگزوپلی ساکارید به طور همزمان با شروع رشد سلولی تحت شرایط بهینه مشاهده گردید؛ اما همچنان تولید اگزوپلی ساکارید در طول فاز سکون رشد سلول نیز، افزایش یافت. ماکریم تولید اگزوپلی ساکارید در زمان ۱۲۰ ساعت بود در حالی که ماکریم رشد سلولی در زمان ۷۲ ساعت مشاهده شد و بعد از آن باکتری وارد فاز سکون شدو در نهایت در زمان ۱۲۰ ساعت بیومس سلولی کاهش یافت. به طور مشابه نتایج تحقیق آلوز و همکاران (۲۰۱۰) بیان کردند تولید اگزوپلی ساکارید توسط *Enterobacter sp* در فاز نمایی رشد آغاز گردیداما بعد از ورود باکتری به فاز سکون همچنان تولید اگزوپلی ساکارید ادامه داشت [۳۹]. رشد و تولید اگزوپلی ساکارید با *Rhizobium* به طور همزمان شروع شد و حداقل تولید اگزوپلی ساکارید بعد از رسیدن باکتری به فاز سکون حاصل گردید [۴۰]. در یک *Alteromonas macleodii subsp. Fijiensis* ایزوله شده از اعمق دریا، تولید اگزوپلی ساکارید در پایان فاز نمایی شروع شد و در سراسر فاز سکون ادامه داشت و مقدار آن به  $6\text{g/l}$  رسید [۴۱].

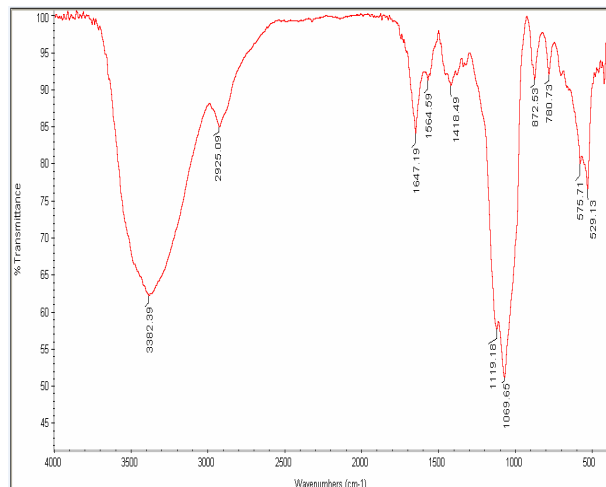
بیومس  $g/100ml$  در غلظت  $1g/l$  کربنات کلسیم، ۵۰ درصد لجنبینی و زمان گرمانه گذاری  $101\text{--}79$  ساعت حاصل شد. همچنین نتایج نشان داد که لجن لبنی محیطی مناسب برای رشد و تولید اگزوپلی ساکارید می‌باشد و با استفاده از آن می‌توان هزینه تولید اگزوپلی ساکارید را کاهش داد؛ و با بررسی خصوصیات این اگزوپلی ساکارید می‌توان از آن در صنایع غذایی بهره برد. علاوه بر این استفاده همنطقی از پسماند صنعتی می‌تواند به کاهش اثرات زیست محیطی ناشی از صنایع لبنی کمک کند.

## ۵- قدردانی و تشکر

از معاونت پژوهشی دانشگاه فردوسی مشهد بهعلت کمک‌های مادی و معنوی صورت گرفته در راستای انجام طرح پژوهشی پایاننامه با کد ۳۹۸۶۲ تشرکر و قدردانی به عمل می‌آید.

## ۶- منابع

- [1] Nicolaus B, Kambourova M, Toksoy Öner E. 2010. Exopolysaccharides from extremophiles: from fundamentals to biotechnology. *Environ Technol* 31:1145-1158.
- [2] Donot F, Fontana A, Baccou JC et al. 2012. Microbial exopolysaccharides: main examples of synthesis, excretion, genetics and extraction. *Carbohydr Polym* 87:951-962
- [3] Freitas F, Alves VD, Reis MAM. 2011. Advances in bacterial exopolysaccharides: from production to biotechnological applications. *Trends Biotechnol* 29:388-398
- [4] Czaczky, K. & Myszka, K. 2007. Biosynthesis of extracellular polymeric substances (EPS) and its role in microbial biofilm formation. *Polish Journal of Environmental Studies*, 16(6), 799.
- [5] Wang K, Wang Y, Zhang R et al. 2012 Preparation and characterization of microbial biodegradable poly (3-hydroxybutyrate-co-4-hydroxybutyrate)/organocla.
- [6] Villano M, Valentino F, Barbetta A et al. 2013. Polyhydroxyalkanoates production with mixed microbial cultures: From culture selection to polymer recovery in a high-rate continuous process. *New Biotechnol* in press
- [7] Zhou, F., Wu, Z., Chen, C., Han, J., Ai, L., & Guo, B. 2014. Exopolysaccharides produced by Rhizobium radiobacter S10 in whey and their



**Fig 5** FT-IR spectra of EPS powders produced from fermentation medium containing dairy sludge.

ارتعاش کشنی  $\text{C}-\text{O}$  در فرکانس  $1069\text{cm}^{-1}$  دارد. جذب قوی  $\text{C}=\text{O}$  ایجاد شده در فرکانس  $1647\text{cm}^{-1}$  مربوط به گروه کربونیل می‌باشد. سه اتصال  $\text{O}-\text{C}=\text{O}$ ،  $\text{C}-\text{O}$  و  $\text{H}$  سه اتصال موجود در اسید کربوکسیلیک می‌باشد که در اسپکتروم اگزوپلی ساکارید تولید شده دیده شده است [۱۲]. همچنین فرکانس  $2925\text{cm}^{-1}$  به تغیر شکل محوری باندهای  $\text{C}-\text{H}$  در ساختار کربوهیدرات‌ها اختصاص داده می‌شود. باند در فرکانس  $1418\text{cm}^{-1}$  ممکن است به دلیل ارتعاش کشنی متقارن  $\text{C}=\text{O}$  باشد [۱۲]. بنابراین نتایج این آزمون نشان دهنده این است که اگزوپلی ساکارید تولید شده دارای باقیمانده کربوهیدراتی و گروه‌های کربوکسیل بر روی زنجیره خود است. یک طیف مشابه ای قبل برای اگزوپلی ساکارید تولید شده با *NBRC 12665A*، *R. radiobacter* کارش شد [۹].

## ۴- نتیجه‌گیری

نتایج این پژوهش بیانگر کارایی مفید روش سطح پاسخ در بهینه سازی تولید اگزوپلی ساکارید توسط *R. radiobacter* در لجن لبنی بود. نتایج بهینه سازی زمان گرمانه گذاری، غلظت کربنات کلسیم و درصدهای مختلف لجن لبنی در تولید اگزوپلی ساکارید توسط *R. radiobacter* داشتند که هر سه متغیر تأثیر معنی‌داری بر تولید اگزوپلی ساکارید توسط این سویه دارند ( $P < 0.01$ ). حداکثر تولید اگزوپلی ساکارید  $0.786\text{ g}/100\text{ml}$  دارند.

- Dairy Industry. *Encyclopedia of Dairy Sciences*, 175-183.
- [16] PINTO, E., MOREIRA, A., & VENDRUSCOLO, C. T. 2002. Influence of pH, addition of salts and temperature in the viscosity of biopolymers produced by *Beijerinckia* sp. 7070 and UR4. *Revista Brasileira de Agrociência*, 8(3), 247-251.
- [17] Duta, F. P., De França, F. P., Sérvulo, E. F. C., Lopes, L. M. D. A., Da Costa, A. C. A., & Barros, A. 2004. Effect of Process Parameters on Production of a Biopolymer by *Rhizobium* sp. In *Proceedings of the Twenty-Fifth Symposium on Biotechnology for Fuels and Chemicals Held May 4-7, 2003, in Breckenridge, CO* (pp. 639-652). Humana Press.
- [18] Weuster-Botz, D. 2000. Experimental design for fermentation media development: statistical design or global random search?. *Journal of bioscience and bioengineering*, 90(5), 473-483.
- [19] Moreira, A. D. S., Souza, A. D. S., & Vendruscolo, C. 1998. Determinação da composição de biopolímero por cromatografia em camada delgada: metodologia. *Current Agricultural Science and Technology*, 4(3).
- [20] Macedo, M. G., Lacroix, C., Gardner, N. J., & Champagne, C. P. 2002. Effect of medium supplementation on exopolysaccharide production by *Lactobacillus rhamnosus* RW-9595M in whey permeate. *International Dairy Journal*, 12(5), 419-426.
- [21] A.O.AC. 1984. Official methods of analysis (vol.14). Association of Official Analytical Chemists.
- [22] James GC.1978. Native Sherman Rockland Community College, State University of New York. The Benjamin/Coming Publishing Company Inc, 75-80
- [23] McKellar, R. C., Van Geest, J., & Cui, W. 2003. Influence of culture and environmental conditions on the composition of exopolysaccharide produced by *Agrobacterium radiobacter*. *Food hydrocolloids*, 17(4), 429-437
- [24] Moosavi-Nasab, M., Taherian, A. R., Bakhtiyari, M., Farahnaky, A., & Askari, H. 2012. Structural and rheological properties of succinoglycan biogums made from low-quality date syrup or sucrose using *Agrobacterium radiobacter* inoculation. *Food and bioprocess technology*, 5(2), 638-647.
- rheological properties. *Food Hydrocolloids*, 36, 362-368.
- [8] Salah, R. B., Jaouadi, B., Bouaziz, A., Chaari, K., Blecker, C., Derrouane, C., ... & Besbes, S. 2011. Fermentation of date palm juice by curdlan gum production from *Rhizobium radiobacter* ATCC 6466<sup>TM</sup>: Purification, rheological and physico-chemical characterization. *LWT-Food Science and Technology*, 44(4), 1026-1034.
- [9] Ruiz, S. P., Martinez, C. O., Noce, A. S., Sampaio, A. R., Baesso, M. L., & Matioli, G. 2015. Biosynthesis of succinoglycan by *Agrobacterium radiobacter* NBRC 12665 immobilized on loofa sponge and cultivated in sugar cane molasses. Structural and rheological characterization of biopolymer. *Journal of Molecular Catalysis B: Enzymatic*, 122, 15-28
- [10] Sellami, M., Oszako, T., Miled, N., & Ben Rebah, F. 2015. Industrial wastewater as raw material for exopolysaccharide production by *Rhizobium leguminosarum*. *Brazilian Journal of Microbiology*, 46(2), 407-413
- [11] Devi, E. S., Vijayendra, S. V. N., & Shamala, T. R. 2012. Exploration of rice bran, an agro-industry residue, for the production of intra-and extra-cellular polymers by *Sinorhizobium meliloti* MTCC 100. *Biocatalysis and Agricultural Biotechnology*, 1(1), 80-84.
- [12] Bakhtiyari, M., Moosavi-Nasab, M., & Askari, H. 2015. Optimization of succinoglycan hydrocolloid production by *Agrobacterium radiobacter* grown in sugar beet molasses and investigation of its physicochemical characteristics. *Food Hydrocolloids*, 45, 18-29
- [13] Silva, M. F., Fornari, R. C., Mazutti, M. A., de Oliveira, D., Padilha, F. F., Cichoski, A. J., ... & Treichel, H. 2009. Production and characterization of xantham gum by *Xanthomonas campestris* using cheese whey as sole carbon source. *Journal of Food Engineering*, 90(1), 119-123.
- [14] Lee, I. Y., Seo, W. T., Kim, G. J., Kim, M. K., Park, C. S., & Park, Y. H. 1997. Production of curdlan using sucrose or sugar cane molasses by two-step fed-batch cultivation of *Agrobacterium* species. *Journal of Industrial Microbiology and Biotechnology*, 18(4), 255-259.
- [15] McCarthy, O. J. 2011. Plant and Equipment. Centrifuges and Separators: Applications in the

- [34] Pereira Duta, F., Pessôa de França, F., & de Almeida Lopes, L. M. 2006. Optimization of culture conditions for exopolysaccharides production in *Rhizobium* sp. using the response surface method. *Electronic Journal of Biotechnology*, 9(4), 0-0.
- [35] Klekner, V., Šimová, E., Řičica, J., & Panoš, J. 1984. Production of exopolysaccharide from ethanol in *Agrobacterium radiobacter*. *Folia microbiologica*, 29(2), 138-147.
- [36] Delavechia, C., Hampp, E., Fabra, A., & Castro, S. 2003. Influence of pH and calcium on the growth, polysaccharide production and symbiotic association of *Sinorhizobium meliloti* SEMIA 116 with alfalfa roots. *Biology and Fertility of soils*, 38(2), 110-114.
- [37] Morin, A. 1998. Screening of polysaccharide-producing microorganisms, factors influencing the production and recovery of microbial polysaccharides. *Polysaccharides—Structural Diversity and Functional Versatility*. New York: Marcel Dekker Inc, 275-296.
- [38] Sutherland, I.W., 1982. Biosynthesis of microbial exopolysaccharides. In: Advances in Microbial Physiology. Dans A.H.R. and Morris, J.G. (Eds.), Academic Press, New York, USA, pp. 80–150.
- [39] Alves, V.D. et al. 2010. Rheological and morphological characterization of the culture broth during exopolysaccharide production by *Enterobacter* sp. *Carbohydr. Pol.* 81, 758 –764
- [40] Datta, C., & Basu, P. S. 1999. Production of extracellular polysaccharides by a *Rhizobium* species from the root nodules of *Melilotus alba*. *Acta biotechnologica*, 19(4), 331-339.
- [41] Raguenes, G., Pignet, P., Gauthier, G., Peres, A., Christen, R., Rougeaux, H., ... & Guezennec, J. 1996. Description of a new polymer-secreting bacterium from a deep-sea hydrothermal vent, *Alteromonas macleodii* subsp. *fijiensis*, and preliminary characterization of the polymer. *Applied and Environmental Microbiology*, 62(1), 67-73.
- [25] Dubois, M., Gilles, K. A., Hamilton, J. K., Rebers, P. A. T., & Smith, F. 1956. Colorimetric method for determination of sugars and related substances. *Analytical chemistry*, 28(3), 350-356.
- [26] Bradford, M. M. 1976. A rapid and sensitive method for the quantitation of microgram quantities of protein utilizing the principle of protein-dye binding. *Analytical biochemistry*, 72(1-2), 248-254.
- [27] Box, G. E. P., & Hunter, J. S. 2000. The 2<sup>k-p</sup> Fractional Factorial Designs Part I. *Technometrics*, 42(1), 28-47.
- [28] Milani.E., Golimovahed.Q.A., and Hosseini.F. 2011. Application of response surface methodology for optimization of Inulin extraction from Salsify Plant. Iranian Food Science and Technology Research Journal. 21(1):35-43.
- [29] Singh, A. K., Singh, G., Gautam, D., & Bedi, M. K. 2013. Optimization of dairy sludge for growth of rhizobium cells. *BioMed research international*, 2013.
- [30] Wachenheim, D. E., & Patterson, J. A. 1992. Anaerobic production of exopolysaccharide by *Butyrivibrio fibrisolvens* nyx. *Applied and Environmental Microbiology*, 58(1), 385–391.
- [31] Macedo, M. G., Lacroix, C., Gardner, N. J., & Champagne, C. P. 2002. Effect of medium supplementation on exopolysaccharide production by *Lactobacillus rhamnosus* RW-9595M in whey permeate. *International Dairy Journal*, 12(5), 419-426.
- [32] Jordan, D. C. 1984. Family III. Rhizobiaceae. *Bergey's manual of systematic bacteriology*, 1, 234-242
- [33] Soto, M. J., van Dillewijn, P., Martínez-Abarca, F., Jiménez-Zurdo, J. I., & Toro, N. 2004. Attachment to plant roots and nod gene expression are not affected by pH or calcium in the acid-tolerant alfalfa-nodulating bacteria *Rhizobium* sp. LPU83. *FEMS Microbiology Ecology*, 48(1), 71-77.

## **Optimization of exopolysaccharide production by *Rhizobium radiobacter PTCC 1654* in the sludge dairy using response surface methodology**

**Eskandari, E.<sup>1</sup>, Tabatabae Yazdi, F.<sup>2\*</sup>, Mortazavi, S. A.<sup>2</sup>, Koocheki, A.<sup>2</sup>**

1. M Sc. Student, Department of Food Science and Technology, Faculty of Agriculture, Ferdowsi University of Mashhad

2. Prof, Department of Food Science and Technology, Faculty of Agriculture, Ferdowsi University of Mashhad

**(Received: 2016/11/30 Accepted: 2017/02/15)**

In this study, exopolysaccharide production by *Rhizobium radiobacter PTCC 1654* in Submergedfermentation to reduce waste sludge from dairy Industries as well as used as Beneficial medium for the growth kind of microorganisms, were studied. Initial screening was used fractional factorial designs with 7 variables of time, temperature, concentration of calcium carbonate, ammonium sulfate concentration, Agitation rate, the percentage of dairy sludge and pH medium for the identification of variables affecting the growth of *R. radiobacter* Was performed. The results showed that three variables of dairy sludge, calcium carbonate concentration and time of incubation had positive effect on the growth of *R.radiobacter*( $p<0/05$ ). Moreover, that all variables, have a significant effect on the production of exopolysaccharide Exopoly saccharides by *R. radiobacter* using response surface methodology( $p<0/05$ ).The maximum production of EPS was in concentration 1g/l calcium carbonate, 50% of dairy sludge and incubation time 101/69 hours, in which case exopolysaccharide production 0/686 g/100 ml and biomass production0/288 g/100 ml is. FTIR results showed that the exopolysaccharides produced in the dairy sludge has residues of carbohydrate, and carboxyl groups on its chain.

**Keywords:** Exopolysaccharide, *Rhizobium radiobacter*, Sludge dairy, Response surface methodology

---

\* Corresponding Author E-Mail Address: tabatabai@um.ac.ir